

## ПРОСТРАНСТВЕННОЕ РАСПРЕДЕЛЕНИЕ ЗАРЯДОВ, ПРОГЕНЕРИРОВАННЫХ ТУННЕЛЬНОЙ ИНЖЕКЦИЕЙ ЭЛЕКТРОНОВ ИЗ КРЕМНИЯ В ТЕРМИЧЕСКИЙ ДИОКСИД МДП СТРУКТУРЫ

Солдатов В. С., Воеводин А. Г., Варлашов И. Б.,  
Коляда В. А., Соболев Н. В.

С помощью разработанной методики расчета пространственного распределения заряда в диэлектрике МДП структур по их фотоинжекционным характеристикам исследовано распределение зарядов, возникающих после туннельной инжекции электронов в структурах  $\text{Mo-SiO}_2\text{-Si}$ , пассивированных фосфорно-силикатным стеклом (ФСС). Показано, что в ФСС накапливается отрицательный заряд. Положительный заряд генерируется у границы  $\text{Si-SiO}_2$ . Получены пространственные распределения зарядов обоих знаков.

Актуальной задачей физики и технологии структур металл—диэлектрик—полупроводник (МДП) является экспериментальное получение пространственного распределения зарядов, возникающих в диэлектрике под действием радиации [1] и высоких электрических полей [2]. Однако систематические исследования координатных зависимостей зарядов  $\rho(x)$ , встроенных в диэлектрик, не проводятся. В значительной степени это обусловлено отсутствием удовлетворительной экспериментальной методики. Обычно используемый [2] метод последнего сравнения имеет тот очевидный недостаток, что физико-химическое воздействие на диэлектрик во время травления может исказить  $\rho(x)$ , существовавшее до травления. Недавно предложен метод [3], основанный на аннигиляции положительного заряда (прогенерированного радиацией или высокополювым воздействием) электронами, вводимыми в диэлектрик фотонно-стимулированным туннелированием. К сожалению, этот метод не применим для изучения распределения отрицательных зарядов.

Изучение  $\rho(x)$  можно проводить с помощью фотоинжекционных (ФИ) вольт-амперных (ВАХ) [4] или спектральных [5] характеристик МДП структур. Обе методики не получили широкого распространения, так как расчеты по ВАХ сопряжены с весьма громоздкими, плохо сходящимися итерационными процедурами, а методика [5] требует большого объема экспериментальных измерений, что приводит к значительному изменению заряда в диэлектрике.

Эффективное использование фотоинжекции для исследования  $\rho(x)$  возможно в том случае, если существенно упростить алгоритм обработки экспериментальных данных при сохранении объема измерений в разумных пределах.

В настоящей работе изучалось пространственное распределение зарядов, возникающих в диэлектрике после туннельной инжекции электронов из полупроводника. Расчет  $\rho(x)$  проводился по фотоинжекционным ВАХ с помощью разработанной нами методики, в которой учитывались сформулированные требования.

Экспериментальная методика  
и исследуемые образцы

Для расчета  $\rho(x)$  мы предлагаем методику, основанную на измерении фотоинжекционных ВАХ при двух различных энергиях фотонов  $h\nu_1$  и  $h\nu_2$  для «ис-

ходного» [ $\rho(x)=0$ ] и «заряженного» [ $\rho(x)\neq 0$ ] образцов. Соответствующие ВАХ описываются приводимыми в работе [4] выражениями

$$I_{0i} = A_i \left( h\nu_i - E_0 + \frac{k}{x_0} \right)^n \exp\left(-\frac{x_0}{L}\right),$$

$$I_{ci} = A_i \left( h\nu_i - E_0 + \frac{k}{x_c} - \int_0^{x_0} \frac{x}{\epsilon_D} \rho(x) dx \right)^n \exp\left(-\frac{x_c}{L}\right),$$
(1)

где  $i=1, 2$ ;  $A_i$  — постоянные при данной интенсивности и  $h\nu_i$ ;  $E_0$  — высота потенциального барьера при равном нулю падении потенциала ( $V$ ) на диэлектрике;  $k=q/8\pi\epsilon_I$ ;  $q$  — заряд электрона;  $\epsilon_I, \epsilon_D$  — высоко- и низкочастотные диэлектрические постоянные диэлектрика;  $x_0 = [k(D/2V)]^{1/2}$ ;  $x_c$  — координаты максимума потенциала в диэлектрике при  $\rho(x)=0$  и  $\rho(x)\neq 0$  соответственно;  $D$  — толщина диэлектрика;  $L$  — средняя длина свободного пробега в диэлектрике фотонинжектированных электронов;  $n=2$  и  $n=3$  при фотонинжекции из металла и полупроводника соответственно.

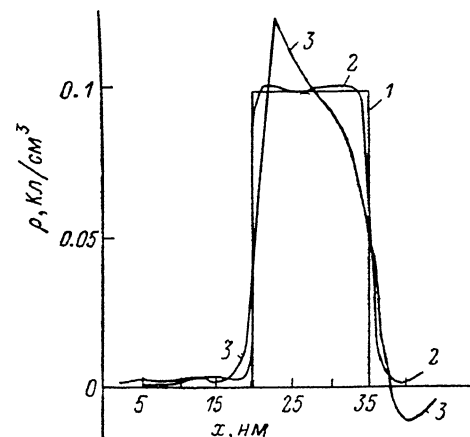


Рис. 1. Результаты численного моделирования.

1 — заданное  $\rho(x)$ , 2 — расчет по разработанной методике, 3 — расчет по методике, предложенной в работе [7].

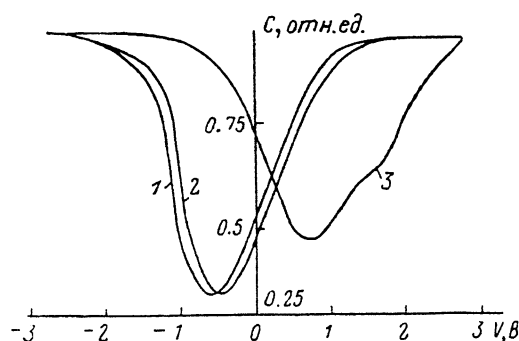


Рис. 2. ВФХ исследуемых образцов.

1 — исходная, 2 — после измерения  $I_{01}, I_{02}$ , 3 — после туннельной инжекции.

Из экспериментальных кривых  $I_{0i}(V)$  рассчитаем  $A_i$  и  $L$ , после чего найдем зависимость

$$x_c(V) = -nL \ln \left[ \frac{(I_{c1}/A_1)^{1/n} - (I_{c2}/A_2)^{1/n}}{h\nu_1 - h\nu_2} \right],$$
(2)

где  $I_{c1}$  и  $I_{c2}$  — измеренные ВАХ после «заряжения» МДП структуры. Затем, дифференцируя по  $x_c$  приводимое в работе [6] соотношение

$$(x_c^{-2} - x_0^{-2}) = \frac{16\pi\epsilon_I}{q\epsilon_D} \int_{x_0}^D \rho(x) dx,$$
(3)

получим выражение для расчета  $\rho(x_c)$ :

$$\rho(x_c) = \frac{q\epsilon_D}{8\pi\epsilon_I} \left( x_c^{-3} - x_0^{-3} \frac{dx_0}{dx_c} \right).$$
(4)

Заметим, что  $x_0(V)$  легко рассчитывается [4], а  $dx_0/dx_c$  определяется численно после описания полиномом полученной с помощью (2) зависимости  $x_c(V)$ .

Для проверки предлагаемого способа расчета  $\rho(x)$  проведено численное моделирование фотонинжекции из Si в SiO<sub>2</sub> при ступенчатом (рис. 1, кривая 1) распределении  $\rho(x)$ . При заданном  $\rho(x)$  вычислялись  $I_{ci}$ , а затем  $\rho(x)$  по вышеописанной методике.

санной методики. Результаты расчетов при  $h\nu_1, h\nu_2 > E_0 = 4.32$  эВ и  $L = 3.5$  нм, показанный на рис. 1 (кривая 2), обнаруживает хорошее совпадение рассчитанного и заданного значений  $\rho(x)$ .

Для сравнения на рис. 1 показано  $\rho(x)$  (кривая 3), полученное по методике, изложенной в работе [4]. При расчете использовался (предложенный авторами [4]) упрощенный алгоритм, поскольку при реализации методики по полной схеме возникают сложности, выводящие ее за пределы целесообразности практического применения. Из рис. 1 видно, что полученный по предлагаемой нами методике результат (кривая 2) значительно лучше совпадает с заданным  $\rho(x)$  (кривая 1), чем распределение (кривая 3), найденное по методике, изложенной в работе [4].

### Экспериментальные результаты и обсуждение

Исследования проводились на МДП структурах Si—SiO<sub>2</sub>—Mo, сформированных на кремнии КЭФ-4.5 ориентации (100). Диоксид толщиной 45 нм выращивался в сухом O<sub>2</sub> при 950 °С и пассивировался фосфорно-силикатным стеклом (ФСС). Толщина ФСС составляла  $(10 \pm 2)$  нм. Электроды затвора толщиной ~20 нм и диаметром 1.2 мм создавались фотолитографией по Mo, осажденному магнетронным методом.

Источником излучения при ФИ служила лампа ДКСэл-1000. Для облучения образцов светом определенной длины волны применялся монохроматор МДР-2.

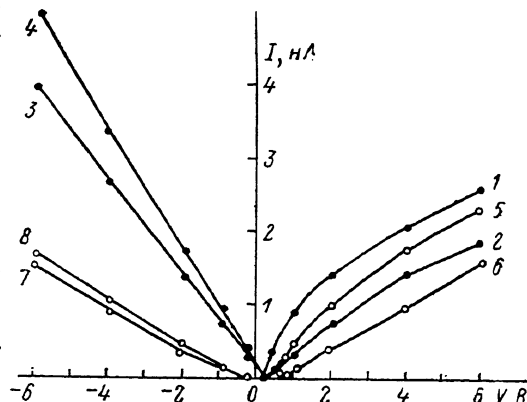


Рис. 3. Фотоинжекционные ВАХ до (темные точки) и после (светлые) туннельной инжекции для МФГ Si—SiO<sub>2</sub> (1, 2, 5, 6) и Mo—SiO<sub>2</sub> (3, 4, 7, 8).

Экспериментально измеренные (по методу, предложенному в работе [7]) значения  $E_0$  для межфазных границ (МФГ) Si—SiO<sub>2</sub> и Mo—SiO<sub>2</sub> равны соответственно  $(4.32 \pm 0.06)$  и  $(3.90 \pm 0.06)$  эВ. Значение  $E_0$  для Si—SiO<sub>2</sub> совпадает с приведенным в [7]. Сведения о  $E_0$  для МФГ Mo—SiO<sub>2</sub> в литературе отсутствуют.

Туннельная инжекция электронов из Si в SiO<sub>2</sub> осуществлялась импульсным напряжением, обеспечивающим напряженность поля в диоксиде 7.7 МВ/см. Зарядовое состояние образцов до и после туннельной инжекции и ФИ контролировалось с помощью квазистатических вольт-фарадных (ВФХ) характеристик.

На рис. 2 показаны ВФХ, измеренные на исходной [ $\rho(x) = 0$ ] структуре (кривая 1), после измерения  $I_{0x}$  (кривая 2) и после туннельной инжекции (кривая 3). Видно, что ФИ приводит к незначительному захвату отрицательного заряда ( $Q_N$ ) в SiO<sub>2</sub>, что вызывает сдвиг ВФХ (рис. 2, кривая 2) в область положительных потенциалов на Mo на 0.1 В относительно исходной ВФХ (кривая 1). Туннельная инжекция при 7.7 МВ/см и протекшем заряде  $5 \cdot 10^{-4}$  Кл/см<sup>2</sup> приводит к существенному росту  $Q_N$ , что отражается в смещении ВФХ (рис. 2, кривая 3) на 1.2 В по оси напряжений. Изменение формы ВФХ после туннельной инжекции свидетельствует о генерации донорных поверхностных состояний (ПС) на МФГ Si—SiO<sub>2</sub>. ФИ после туннельной инжекции не дает регистрируемого ВФХ изменения зарядового состояния образца. Это свидетельствует о слабом воздействии в нашем случае ФИ на заряд, прогенерированный в SiO<sub>2</sub>, что является принципиально необходимым для корректного применения ФИ при изучении  $\rho(x)$ .

На рис. 3 показаны ФИ ВАХ до и после туннельной инжекции, измеренные при  $h\nu_1 = 4.94$  (кривые 1, 3, 5, 7) и  $h\nu_2 = 4.74$  эВ (кривые 2, 4, 6, 8).

Расчет  $L$  дал значения 2.0 нм (рис. 3, кривые 1, 2) и 1.5 нм (рис. 3, кривые 3, 4) для МФГ Si—SiO<sub>2</sub> и Mo—SiO<sub>2</sub> соответственно. Рассчитанные значения  $E_0$ ,

$L$ ,  $A_1$ ,  $A_2$  позволили описать  $I_{01}(V)$  и  $I_{02}(V)$  для обеих МФГ с отклонениями не более 3%. Заметим, что превышение  $I_{02}$  над  $I_{01}$  (рис. 3, кривые 4, 3 соответственно) связано с большей интенсивностью излучения ДКСЭЛ-1000 при  $h\nu_2 = 4.74$ , чем при  $h\nu_1 = 4.94$  эВ.

Результат обработки данных рис. 3 по предложенному нами алгоритму показан на рис. 4. Из этого рисунка видно, что распределение отрицательного заряда ( $\rho_N$ ) имеет пик вблизи Мо и спадает в глубь  $\text{SiO}_2$ . Этот результат — прямое подтверждение доминирующей роли ФСС в электронном захвате, что можно

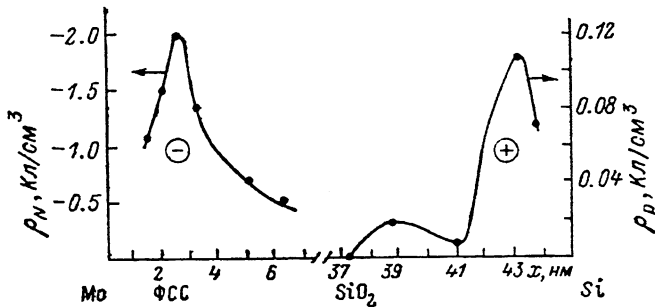
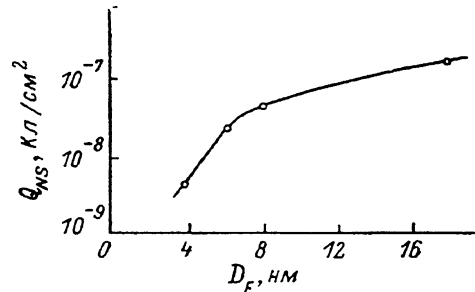


Рис. 4. Пространственные распределения положительного и отрицательного зарядов, возникающих в  $\text{SiO}_2$  после туннельной инжекции.

было предполагать на основе установленного авторами монотонного роста эффективного, приведенного к МФГ  $\text{Si}-\text{SiO}_2$  отрицательного заряда ( $Q_{NS}$ ) в насыщении, захваченного при туннельной инжекции (рис. 5). На рис. 5 экспериментальные точки получены на образцах, сформированных в одинаковых технологических условиях, но имеющих различную толщину ( $D_F$ ) ФСС, что достигалось варьированием времени пассивации. Заметим, что качественный анализ ВАХ на рис. 3 в принципе позволяет утверждать, что центр тяжести  $\rho_N$  смещен к  $\text{Mo}-\text{SiO}_2$ , так как после туннельной инжекции трансформация ВАХ для этой границы значительнее, чем для МФГ  $\text{Si}-\text{SiO}_2$ .



Из рис. 4 видно, что вблизи  $\text{Si}-\text{SiO}_2$  располагается положительный заряд

Рис. 5. Значение отрицательного заряда, накопленного при туннельной инжекции ( $E_{\text{ox}} = 7$  МВ/см) в образцах с  $\text{SiO}_2$ , выращенных в одинаковых условиях, но имеющих различную толщину ФСС.

( $Q_P$ ). Этого нельзя было предвидеть при качественном рассмотрении данных рис. 3, так как для обеих МФГ  $I_{cs}$  располагаются ниже соответствующих  $I_{0i}$ . Тем не менее этот результат вполне закономерен. Уже упоминалось, что туннельная инжекция вызывает генерацию ПС (рис. 2, кривая 3). Согласно модели [8], это является следствием образования и переноса к  $\text{Si}-\text{SiO}_2$  положительно заряженных центров, ответственных за  $Q_P$ . Полученное распределение положительного заряда ( $\rho_P$ ) в целом совпадает с результатами работы [3], однако появление пика в точке  $x \approx 38.5$  нм (рис. 4) требует пояснений. В качестве возможного варианта интерпретации  $\rho_P$  можно привести следующие соображения. При туннельной инжекции одновременно происходят захват  $Q_N$  и ударная ионизация  $\text{Si}-\text{Si}$  и ослабленных связей  $\text{Si}-\text{O}$  [2, 3], т. е. появляются  $E'$ -центры, отвечающие за  $Q_P$ . Под действием электрического поля происходит перенос этих центров к МФГ  $\text{Si}-\text{SiO}_2$ , что, согласно модели [8], вызывает генерацию ПС. На начальных этапах туннельной инжекции, когда  $Q_N$  мал, отток  $Q_P$  к  $\text{Si}-\text{SiO}_2$  идет достаточно свободно, что и обуславливает пик  $\rho_P$  при  $x \approx 43$  нм (рис. 4). По мере роста  $Q_N$  поле, вызванное этим зарядом, начинает сдерживать направленный перенос  $Q_P$ . Результатом является пик  $\rho_P$  на расстоя-

нии  $x \approx 6.5$  нм от Si—SiO<sub>2</sub>. Согласно данным работы [9], именно на таком расстоянии наиболее эффективна ударная ионизация, порождающая E'-центры.

Найденные  $\rho_N$  и  $\rho_P$  (рис. 4) явно не охватывают всего диапазона  $Q_N$  и  $Q_P$  по координате. При  $x \leq 1$  нм от МФГ  $I_c$  не «зондируют»  $\rho(x)$ , так как для этого требуются электрические поля, близкие к пробивным для SiO<sub>2</sub>. Кроме того, на таких расстояниях проблематично использование концепции сил изображения [4] из-за дискретности заряда. Максимальная же глубина зондирования SiO<sub>2</sub> определяется минимальным корректно измеряемым фототоком.

Таким образом, предлагаемая методика может служить хорошим инструментом для изучения  $\rho(x)$  на расстояниях 1—10 нм от МФГ. С наибольшим успехом методика может быть применена для исследования образцов с тонким SiO<sub>2</sub>, так как в этом случае уменьшается протяженность незондируемой части диэлектрика.

Таким образом, можно сделать следующие выводы.

1. Разработана методика расчета пространственного распределения зарядов в диэлектрике МДП структур по их фотоинжекционным ВАХ.
2. Результаты расчета профиля распределения заряда по предложенной методике на смоделированных фотоинжекционных характеристиках показали, что достигается практически полное соответствие заданного и рассчитанного распределений заряда.
3. Экспериментально получено пространственное распределение зарядов, возникающих после туннельной инжекции электронов в структурах Mo—SiO<sub>2</sub>—Si с пассивированным ФСС диоксидом кремния. Показано, что у МФГ Si—SiO<sub>2</sub> располагается положительный, а у Mo—SiO<sub>2</sub> (в слое ФСС) — отрицательный заряды.

#### Список литературы

- [1] Mitchell J. P., Willson D. K. // Bell Syst. Techn. 1974. V. 46. N 1. P. 1—6.
- [2] Nissan-Cohen J., Shappir J., Frohman-Bentskowsky D. // J. Appl. Phys. 1983. V. 54. N 10. P. 5793—5800.
- [3] Chang S. T., Lyon S. A. // Appl. Phys. Lett. 1986. V. 48. N 2. P. 135—138.
- [4] Powell R. J., Berglund C. N. // J. Appl. Phys. 1971. V. 42. N 11. P. 4390—4397.
- [5] Wang C. G., Distefano T. H. // CRC Crit. Rev. Sol. St. Sci. 1975. N 10. P. 327—335.
- [6] Brews J. R. // J. Appl. Phys. 1973. V. 44. N 1. P. 379—386.
- [7] Powell R. J. // J. Appl. Phys. 1970. V. 41. N 6. P. 2424—2432.
- [8] Солдатов В. С., Коляда В. А., Воеводин А. Г. // Тез. докл. IX Всес. симп. «Электронные процессы на поверхности и в тонких слоях полупроводников». Новосибирск, 1988. Ч. 2. С. 162—163.
- [9] Avni E., Shappir J. // J. Appl. Phys. 1988. V. 64. N 2. P. 734—742.

Московский энергетический институт

Получена 16.01.1990  
Принята к печати 14.05.1990